

تحضير وتصنيف راتنجات مخلبие أمينيه عن طريق أورثو أمينو فينول وتقييم كفاءتها في

معالجه المياه

طارق أحمد محمد محمد

* صابر السيد منصور المسماري

أسامه أمين محمد

DOI: <https://doi.org/10.54172/mjsci.v16i1.877>

الملخص

تحضر الراتنجات المخلبية الأمينية من خالل البليمر المعلقة لكل من ارثو امينوفينول وجليسيديل ميث اكريلات (GMA + O.APh) ووصف البوليمر والراتنج الحضر باستخدام جهاز التحليل العنصري وجهاز التحليل بالأأشعة تحت الحمراء . تؤثر عوامل مختلفة على امتصاص الايونات الفلزية بالراتنج مثل الرقم الهيدروجيني، تركيز ايونات الفلز ، زمن المعالجة بالإضافة الى الحجم الأيوني . تختص الايونات الفلزية المختلفة مثل (Hg^{2+} , Cd^{2+} , Pb^{2+} , Zn^{2+} , Mn^{2+} , Co^{2+} , Cu^{2+} , Ni^{2+}) على الراتنج عند قيم مختلفة من الرقم الهيدروجيني ، توضح النتائج المتحصل عليها أن امتراز الايونات يزداد بزيادة الرقم الهيدروجيني وتكون القيمة المثلثي للرقم الهيدروجيني عند (5.7-4.3) اعتماداً على نوع الايون المستخدم ، وسعه الامتراز بين (2.01-3) مل مول/جم راتنج عند تركيز ابتدائي 0.005 مولار .

أجرى امتراز ايونات الفلزات على الراتنج عند تركيزات مختلفة ، وأوضحت النتائج المتحصل عليها أن امتراز الايونات يزداد بزيادة التركيز حتى الوصول لحاله الاتزان، وتبين قيمة التركيز المثلثي عند (0.03-0.005) مولار اعتماداً على نوع الفلز المستخدم، وتتراوح سعه الامتراز بين (6.0-2.97) ملي مول/جم راتنج. أيضاً وجد ان إمتراز الايونات على الراتنج يزداد بالانخفاض نصف قطر الايون ، وكذلك بزيادة الوقت المستخدم في المعالجة حتى الوصول لحاله الاتزان .

وأن للراتنج تأثير ملحوظ على إمتراز الايونات عند استخدام طريقة العمود وطريقه الدفعات. وكذا يتم ازاله الفلزات من الراتنج بالغسيل بمحلول حمض النيتريك (2 مولار) ، ويعاد استخدامه أكثر من مرّة.

* قسم الكيمياء ، كلية العلوم ، جامعة عمر المختار ، البيضاء - ليبيا ، ص.ب. 919 .

© للمؤلف (المؤلفون)، ينصح هذا المقال لسياسة الوصول المفتوح ويتم توزيعه موجب شروط ترخيص إسناد المشاع الإبداعي 4.0 CC BY-NC 4.0

الاكسجينييه أقوى قاعدية من المجموعات الكبريتية	المقدمة
(اقل قاعديه) ولكن المجموعات الفعاله النيتروجينية متوسطه القاعدية.	لفت أنظار كثيراً من الباحثين في العقود الأخيرة طریقه تخلیق البولیمر الذى يحتوى على
يمکن لنا تقسیم راتجات التبادل الأيوني المخلبی طبقاً للذرات المانحة الى ما يلى:	مرتبطات في صوره مجموعات طرفیه في سلسنه البولیمر المخلبی الذى يتكون من هيكل البولیمر ،
1- راتجات تبادل أیون تحوى على نیتروجين کذرتان ماختان واحده (S.B.Pulak et al., 2004).	ویجموعه مخلبیه مطعمه ، ومن الممکن ان تكون هذه المجموعة ضمن تركیب المونفر أو تضاف على هيكل البولیمر بأی تفاعل مقابل .
2- راتجات تبادل أیون تحوى على ذری نیتروجين و اکسجين کذرات مانحه . وهم یکونان المجموعات الأکبر من راتجات التبادل الأیونی ، ومتلک فيها المرتبطات ذری نیتروجين و اکسجين کذرات مانحه تحوى على :	ذرات المجموعه الفعالة التي لها القدرة على تکوین حلقات مخلبیه من اکسجين ، نیتروجين أو کبریت . ویمکن أن يتواجد النیتروجين في الأمینيات الأحادیة ، الثنویة أو الثلاثیة ، وفي مرکبات النیتروز ، النیتروزو ، الازو ، الدای ازو ، والنیتریل ، والأمیدات ومجموعات
راتجات مخلبیه تشمل حمض الخلیك الامینی الثنائی والمرتبطات المشتقه منه (S.Nagib et al., 1999 ; B.F.Senkal et al., 2001 ; A.A.Atia et al., 2005)	أ- اکسجين فعاذه ما يكون في شکل مجموعات فینولیه ، کربونیلیه ، کربوکسیلیه ، هیدروکسیلیه ، ایشیریه ، فوسفوریلیه ومجموعات آخری . وأخيراً الكبریت الذى يتواجد في صورة
راتجات تحوى على حمض هیدروکسامیک، اوکسیم ، اوکسین، امید، قواعد شیف، الازو .	ثیول ، ثیو ایشر، ثیوکربامات، دای سلفید الخ . ویمکن ادخال هذه المجموعات للبولیمر عن طریق تخلیق ماده متره من المرتبطات
(U.V.Trivedi et al., 2002 ; M.R.Lutfor et al., 2000; F.M.B.Coutinho et al., 2001; M.J.Z.Mehra et al., 2004; H.Kasgoz et al., 2003; H.Dierssen et al., 2001; A.O.Martins et al., 2004; V.G.Akerkar et al., 1998; D.Prabhakaran et al., 2003; S.D.Cekic et al., 2004; G.Venkatesh et al., 2005; Y.Kim et al., 2005)	المونفریه التي تحوى على مجموعات فعاله خاصه في سلسله البولیمر تجعله قادرًا على ان يتفاعل مع ایونات الفلار تحت ظروف معینه ، لتکوین حلقات مخلبیه . وعاذه ما تتفاعل هذه المجموعات الفعالة في البولیمر المخلبی كقواعد ، فالمجموعات الفعالة

المواد وطرق البحث

1- المواد المستخدمة

تستخدم مواد عاليه النقاوه ، مثل جليسيديل ميثاكريلات (GMA) ، وثنائي فاينيل البترین (DVB) ، أرثو أمینو فينول (O.APh) وبولي فاينيل الكحول (PVA) ، و 2-ازوبيس ايزوبوتريونيترينيل (AIBN) من شركه الدرش الألمانيه.

استخدمت املاح الفلزات الآتية:

اسیتات النحاس المائية $\text{Cu}(\text{CH}_3\text{COO})_2 \cdot \text{H}_2\text{O}$ ،
اسیتات الزنك المائية $\text{Zn}(\text{CH}_3\text{COO})_2 \cdot 2\text{H}_2\text{O}$ ،
نترات الرصاص $\text{Pb}(\text{NO}_3)_2$ ، واسیتات المنجنيز المائية $\text{Mn}(\text{CH}_3\text{COO})_2 \cdot 4\text{H}_2\text{O}$ ،
الكوبالت المائية $\text{Ni}(\text{CH}_3\text{COO})_2 \cdot 4\text{H}_2\text{O}$ ، وکبریتات الكادميوم CdCl_2 وکلورید الزئبق HgCl_2 كمصدر للايونات الفلزية مثل (- Cu^{2+} - Zn^{2+} - Pb^{2+} - Mn^{2+} - Ni^{2+} - Co^{2+} - Cd^{2+} - Hg^{2+}) على التوالي من شركه سیحاما (امريكا). وكل الكيماويات والمذيبات تم تقيتها بالطرق القياسية.

2 - طرق العمل والأجهزة

أولاً- تحضير الراتنج المحلي

(أ) تحضير البوليمر (GMA-DVB)

الطريقة العامة المستخدمة في التحضير

هي البلمرة المعلقة باستخدام جهاز تفاعلات

-3- راتنجات تحتوى على ذره اكسيجين مانخه فقط .

(R.Pathak et al., 1996 ; S.Yalçın et al., 2004)

-4- راتنجات تحتوى على ذره کربیت أو ذري کبریت ونیتروجين او ذري اکسیجين وکربیت کذرات مانخه .

(A.W.Trochimczuk et al., 2000; P.K.Roy et al., 2003; B.C.Mondal et al., 2003; Y.Guo et al., 2004; R.Qu et al., 2005).

-5- راتنجات تحتوى على ذرات کربیت ونیتروجين واکسجين کذرات مانخه .

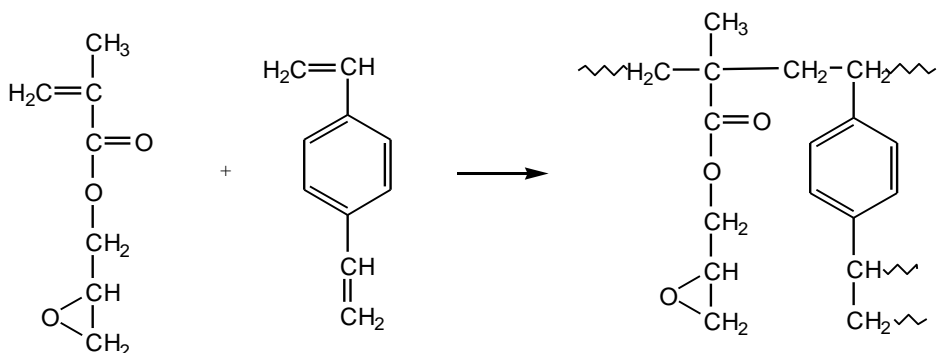
(A.W.Trochimczuk et al., 2001; B.C.Mondal et al., 2002; A.A.Aтиа et al., 2003; G.Yong et al., 2004)

-6- راتنجات تحتوى على الكترونات بـأي (π) کذرات مانخه .

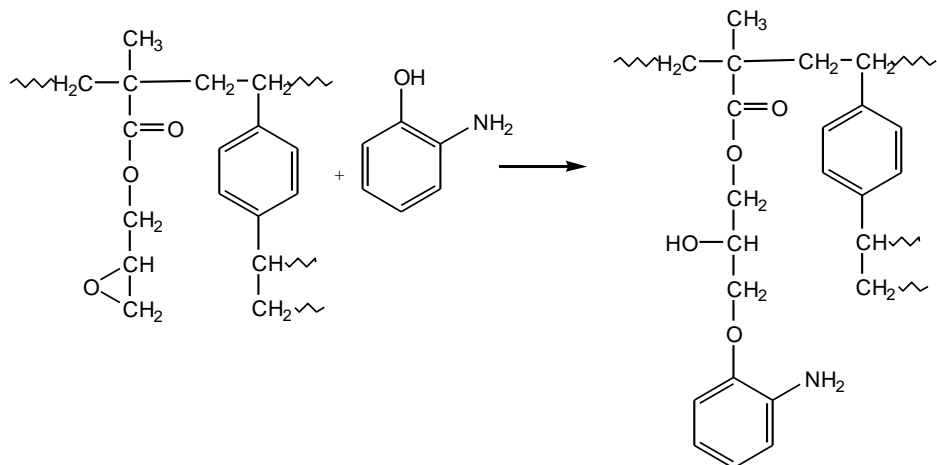
E.W.Neuse et al., (1970).

يعتمد التطبيق الرئيسي لهذه البوليمرات المخلبيه على امكانيه التقاط کاتيونات الفلزات. ولا زالت تستخدم هذه الراتنجات عديمة الذوبان في الماء في امتصار الايونات السامة ، أو کاتيونات الفلزات من مياه البحر، ومياه الصرف الصحي لتنقية البيئة ، وبالتالي نستطيع توفير استهلاك الطاقة المستخدمة في معالجة المياه و التحلية . تعتمد كمية امتصار الايونات على نوع البوليمر، و معدل عامل الارتباط و كذلك عامل الثبات للمترابكت البوليمرية الناتجة.

البلمرة المعلقة ، وفيها يتم خلط المكونات التالية: 0.90 جم - 0.63 مول (جليسيديل ميثا كريلات) و (10 جم - 0.08 مول) ثـنـائـيـ فـانـيلـ (GMA) و (F.Svec et al., 1975) كـمـادـهـ رـابـطـهـ و (1 مـولـ / 100 مـولـ منـ مـخـلـوطـ المـوـفرـ) 2-2 اـزوـبيـتـورـيلـ (AIBN) و 730 مـلـ منـ الـبـولـيـ فـايـيلـ (PVA) والـقـلـيـبـ المـسـتـمرـ (1%) الكـحـولـ (الـكـيـمـيـائـيـةـ الآـتـيـةـ) .



(ب) تحضير الراتنج الأميني المخلبـيـ
يعالـجـهـ الـبـولـيـمـرـ (GMA-DVB) بـزيـادـهـ منـ اـرـثـوـ
أـمـينـوـ فيـنـولـ فيـ ثـنـائـيـ مـيـشـيلـ فـورـمـامـيـدـ (DMF)
وـ يـعـطـيـ الرـاتـنجـ المـقـابـلـ وـ يـحـدـثـ ذـلـكـ بـخـلـطـ الـمـوـادـ
الـأـتـيـةـ: 5 جـمـ مـنـ الـبـولـيـمـرـ (GMA-DVB) ، وـ يـحـدـثـ التـفـاعـلـ طـبـقاـ لـلـمـعـادـلـةـ التـالـيـةـ:

**النتائج والمناقشة****ثانياً- قياسات الامتاز**

أولاً- تركيب الراتنج **أ- بخارب امتاز الايونات الفلزية باستخدام طريقة الدفعات**

(أ) دراسة التركيب العنصري

الجدول رقم (1) يبين نتائج التحليل العنصري للبوليمير و الراتنج الأميني المتكون مع القيمة الحسابية اعتماداً على التركيب الكيميائي المفترض .

مع أن نتائج التحليل العنصري لا تملك إشارات هامة ، إلا أنه يمكن الحصول منها على بعض المعلومات حول عدد ذرات العناصر التي ترتبط بسلسلة البوليمير . يرجع الحيدود الواضح للتحاليل المعملية عن القيم النظرية إلى الطبيعة البوليميرية .

(ب) طيف الأشعة تحت الحمراء

يظهر طيف الأشعة تحت الحمراء للبوليمير امتصاصاً عريضاً قريباً من 3440 cm^{-1} ، 3054 cm^{-1}

وتم بها دراسة تأثير العوامل الآتية على امتاز ايونات الفلزات :

1- تأثير الرقم الهيدروجيني على امتاز ايونات الفلزات .

2- تأثير التركيز على امتاز ايونات الفلزات .

3- تأثير زمن الاتزان على امتاز ايونات الفلزات .

4- امتاز مخلوط من الايونات .

ب- امتاز الايونات الفلزية باستخدام طريقة العمود

وتم هنا دراسة :

1- امتاز الايونات الفلزية .

2- إعادة التشغيل .

تعتمد عملية تكوين متراكبات للمعادن الثقيلة مع الراتنج المخلبى على الرقم الهيدروجيني للوسط (L.Jones et al., 1992 ; B.George et al 1999) استخدمت طريقة الدفعات لاختبار امتراز الايونات الفلزية مثل (Hg^{2+} , Cd^{2+} , Pb^{2+} , Ni^{2+} , Co^{2+} , Zn^{2+} , Mn^{2+} , Cu^{2+}) على الراتنج عند قيم مختلفة ل pH ، و النتائج المتحصل عليها موضحة في الجدول رقم (2) . بصورة عامة ، امتراز الايونات الفلزية يزداد بزيادة الرقم الهيدروجيني ، يؤكّد الامتراز الأعلى عند pH مرتفعة أنّ ايونات الفلز تفضل أن تتفاعل مع مجموعات الأمين غير البروتينية A.Denizli et al., (B.E.Reed et al., 1993; 2000) القيمة الكلية لامتراز ايونات الزئبق (Hg^{2+}) بالراتنج اكبر من الايونات الاصغرى عند pH منخفضة ، وهذا يمكن تفسيره بالقابلية العالية للزئبق ناحية النيتروجين ، والتي تسمح بفصلها عن الايونات الاصغرى عند هذه القيم من pH. ومن جدول (2) يتضح ان امتراز هذه الايونات يأخذ الترتيب التالي : $Hg^{2+} > Zn^{2+} > Pb^{2+} > Cu^{2+} > Cd^{2+} > Ni^{2+} > Co^{2+} > Mn^{2+}$ (متوسط) ، 2945 سـ⁻¹ (منقسم) ، 1729 سـ⁻¹ (قوى) ، 1601 سـ⁻¹ (ضعيف) و 1258 سـ⁻¹ (متوسط) و ترجع هذه الامتصاصات الى مجموعة (OH) للماء ، (CH) الاروماتية ، (CH) الاليفاتية ، C=C ، C=O ، ، للفينيل والابوكسيد على الترتيب ، و ظهور هذه الامتصاصات يؤكّد تكوين البوليمر . أما طيف الراتنج المخلبى الناتج من معالجة البوليمر بأورثو أمينو فينول فيعطي نفس الامتصاصات فيما عدا ظهور امتصاصان جديدان بالقرب من 3567 و 3375-3304 سـ⁻¹ و التي تعود الى NH ، OH على الترتيب . و يؤكّد ظهور هذه الامتصاصات تكوين الراتنج المخلبى من البوليمر خلال فتح حلقة الابوكسيد بالأورثو أمينو فينول ، و على الجانب الآخر فان ظهور امتصاص خاص بالابوكسيد عند 1265 سـ⁻¹ يدل على أن فتح حلقة الابوكسيد لم يكن تاما .

ثانياً - استخدام طريقة الدفعات لاختبار امتراز ايونات Hg^{2+} , Cd^{2+} , Pb^{2+} , Cu^{2+} , Mn^{2+} : Zn^{2+} , Co^{2+} , Ni^{2+}

1- الرقم الهيدروجيني الأمثل لامتراز ايونات العناصر :

جدول 1 يبين نتائج التحليل العنصري للبوليمر، و الراتنج الأميني

المركب	التحليل العنصري					
	% C الحسابية	% C المعملية	% H الحسابية	% H المعملية	% N الحسابية	% N المعملية
البوليمر <chem>C17H20O3</chem>	74.97	73.94	7.40	7.28	0.0	0.0
راتنج الأميني <chem>C23H27O4N</chem>	72.41	72.06	7.13	6.88	3.67	3.52

جدول 2 تأثير الرقم الميدروجيني على امترار أيونات العناصر على الراتنج

سعة الراتنج (مل مول / جم راتنج)	الرقم الميدروجيني الأمثل	ايون الفلز
2.42	4.7	Cu^{2+}
2.48	4.3	Pb^{2+}
2.83	5.0	Zn^{2+}
2.01	5.6	Mn^{2+}
2.22	4.9	Ni^{2+}
2.09	4.5	Co^{2+}
2.39	5.7	Cd^{2+}
3.00	5.0	Hg^{2+}

كمية الراتنج 1 جم ، تركيز ايون الفلز 0.005 مولر ، حجم محلول 100 مل ، زمن الفصل 240 دقيقة

2 التركيز الأمثل لامترار أيونات العناصر : التسبيع ، بعد ذلك ينعدم تأثير التركيز ، و تعتبر

يسخدم أيزوثرم الامترار لتوضيح سعة الراتنج عاملاما هاما لتقدير كمية الراتنج الازمة العلاقة بين الكمية الممتزة والتركيز عند الاتزان للتخلص من ايونات معينة من محاليلها .

او يحسب سعة الراتنج عند pH المثالية لايونات الفلز عند ثبات درجة الحرارة .

بدراسة النتائج المتحصل عليها والمدونة وبغير عنها بوحدة (مل مول / جم راتنج) ،

ويلاحظ ان امترار الزئبق يكون اعلى من غيره من في الجدول رقم (3) يتضح أن امترار الايونات ايونات الفلزات المختلفة . يزداد بزيادة التركيز حتى الوصول الى حالة

جدول 3 تأثير التركيز على امترار أيونات العناصر على الراتنج

سعة الراتنج (مل مول / جم راتنج)	التركيز الأمثل (مولر)	ايون الفلز
4.4	0.02	Cu^{2+}
3.0	0.03	Pb^{2+}
4.7	0.03	Zn^{2+}
2.97	0.005	Mn^{2+}
3.0	0.01	Ni^{2+}
3.0	0.01	Co^{2+}
3.7	0.01	Cd^{2+}
6.0	0.03	Hg^{2+}

كمية الراتنج (1 جم) ، حجم المحلول (100 مل) ، زمن الفصل (240 دقيقة)

3 تأثير زمن الفصل و ثابت السرعة على امتراز ايونات العناصر: لكلا من Co^{2+} , Mn^{2+} , Pb^{2+} , Cd^{2+} , Ni^{2+} وبعد 40 دقيقة لكلا من Zn^{2+} , Cu^{2+} , Hg^{2+} , Cd^{2+} وهذا يشير إلى أن الامتراز يحدث على سطح البوليمر و تظهر اقصى قيمة لسعة الامتراز للراتنج عند 6.0 مل مول / جم للزئبق وأقل قيمة 2.97 مل مول / جم للمنجنيز وباقى الفلزات تقع بينهما . ويرجع هذا الاختلاف في سعة الامتراز ربما إلى معدلات الثبات المختلفة للمتراكبات الناتجة بين ايونات العناصر المختلفة والراتنج . ويمكن دراسة العلاقة بين (a-x) و الزمن (t) لكل ايون فلزى ، حيث تدل الخطوط المستقيمة الناتجة على أن هذا التفاعل يتبع تفاعلات الرتبة الأولى لكل ايونات الفلزات المدروسة . كذلك يمكن حساب ثابت سرعة التفاعلات (k) من ميل هذه الخطوط و المبينة في الجدول رقم (5) .

تعتبر حركية تفاعلات (الفلز - الراتنج) لها أهمية بالغة اذا كان الراتنج مستخدما في نظام حركي مثل عمود الفصل ، حيث أن عملية تكوين المتراكبات ليست سريعة بدرجة كافية لبعض الفلزات و تركيزها في العمود يكون غير متوقع بسبب قصر زمن الاتصال بين الراتنج والمحلول وفي مثل هذه الحالات فان استخلاص دفعه من الأيونات بكمية كبيرة من الراتنج يجب أن تتم على فترة طويلة.

تم عمل التجارب الحركية عند pH مثالية و تركيز مثالي لايونات الفلزات ، والنتائج جمعة في جدول رقم (4) . وكما هو واضح من الجدول فأنا نحصل على الاتزان بعد 30 دقيقة

جدول 4 تأثير زمن الفصل على امتراز أيونات العناصر على الراتنج :

الزمن (دقيقة)	سعة الراتنج (مل مول أيون الفلز / جم راتنج)							
	Cu ²⁺	Pb ²⁺	Zn ²⁺	Mn ²⁺	Ni ²⁺	Co ²⁺	Cd ²⁺	Hg ²⁺
0	0.0	0.0	0.0	0.0	0.0	0.0	0.0	0.0
10	2.0	2.2	1.2	0.4	1.1	1.8	1.0	1.8
20	2.9	4.2	2.65	1.2	2.0	2.2	1.4	2.6
30	4.0	4.5	3.8	2.97	2.6	3.0	3.0	4.0
40	4.4	4.5	4.7	2.97	3.0	3.0	3.7	6.0
50	4.4	4.5	4.7	2.97	3.0	3.0	3.7	6.0
60	4.4	4.5	4.7	2.97	3.0	3.0	3.7	6.0

كمية الراتنج (1جم) ، حجم المحلول (100مل) . عند التركيز الامثل ، و pH الامثل .

جدول 5 العلاقة بين ثابت السرعة وسعة الراتنج

سعة الراتنج (مل مول / جم راتنج)	أيون الفلز $10^2 \times K$ (دقيقة ⁻¹)
4.40	7.37
4.50	21.06
4.70	7.81
2.97	2.45
3.00	5.33
3.00	6.09
3.70	5.33
6.00	3.47

(4) تأثير نصف القطر الأيوني على امتراز مخلوط الأيوني ل Co^{2+} (0.65 A^0) صغير وهذا يساعد على الانتشار بسهولة خلال الراتنج ، بينما نصف القطر الأيوني ل Hg^{2+} (0.96 A^0) وهذا يواجه مقاومة عالية لإمكانية انتشاره خلال الراتنج ، وبالتالي يمكننا القول انه بزيادة نصف قطر الأيون يقل الامتراز بواسطة الراتنج .

يظهر تأثير نصف القطر الأيوني على امتراز الأيونات ($\text{Hg}^{2+}, \text{Cd}^{2+}, \text{Co}^{2+}, \text{Ni}^{2+}$) من البيانات المدونة في جدول رقم (Zn²⁺, Cu²⁺) ، ومن هذه النتائج يتضح ان نصف القطر

جدول 6 تأثیر نصف قطر ایون الفلز علی سعة امتراز الراتنج

امتراز ایون الفلز	نصف قطر ایونی	سعة الراتنج
		(مل مول / جم راتنج)
Co^{2+}	0.65	1.381
Ni^{2+}	0.69	1.28
Cu^{2+}	0.73	1.19
Zn^{2+}	0.74	0.647
Cd^{2+}	0.95	0.424
Hg^{2+}	0.96	0.307

ثم يتم التخلص من الايونات السابقة تماما من على سطح الراتنج بإمرار 20 مل من محلول حمض النتريك (2مولار) خلال العمود بمعدل تدفق 0.25 مل/دقيقة ، ولكن استخلاص ايونات Co^{2+} من الراتنج كانت غير مكتملة تماما ، وهذا يرجع الى أن ايونات Co^{2+} تتأكسد على سطح الراتنج لتعطى ايونات Co^{3+} الاكثر ثباتا .
ويمكن اعادة استخدام الراتنج عدة مرات بعد اعادة تنشيطه ، ودراسة قدرته على امتراز الايونات السابقة ، والجدول رقم (7) يتضمن قدرة الراتنج المعاد تنشيطه واستخدامه 5 دورات لكل فلز من الفلزات المدروسة .

ثالثا: امتراز ايونات الفلزات Hg^{2+} , Cd^{2+} , Pb^{2+} , Cu^{2+} , Mn^{2+} , Zn^{2+} , Co^{2+} , Ni^{2+} باستخدام طريقة العمود

تستخدم طريقة العمود لإزالة الايونات الفلزية السابقة من محلول يحتوى على التركيزات المناسبة من كل ايون فلز (جم / لتر) عند الرقم الهيدروجيني المثالى . حيث يمرر المحلول بصفة مستمرة خلال عمود معبأ ب 1.0 جم من الراتنج بمعدل تدفق 1.0 مل/دقيقة ، ثم يتم تقدير تركيز ايون الفلز لكل 10 مل من المحلول الخارج من العمود بعد مروره على الراتنج وحدودت الامتراز الى ان يتساوى التركيز الناتج من العمود مع التركيز الابتدائي ، والذى يشير الى حدوث تشعير للراتنج بالفلز .

جدول 7 سعة الراتنج المعاد تنشيطه بحمض النتريك (2مولار) في امتراز ايونات الفلزات

رقم الدورة	سبة الراتنج (مل مول ايون الفلز / جم راتنج)%						
	Hg^{2+}	Cu^{2+}	Pb^{2+}	Zn^{2+}	Cd^{2+}	Ni^{2+}	Mn^{2+}
0	100*	100*	100*	100*	100*	100*	100*
1	97	99	98	99	98	99	99
2	96	97	95	96	98	97	97
3	92	96	93	96	97	97	97
4	88	94	90	92	92	93	94
5	88	91	88	89	90	91	91

- 1 سهولة تحضير الراتنج المخلبي الاميني .
- 2 تراوح قيم pH المثالية للفلزات المدروسة بين (4.3-5.7) الموجوده في محلول .
- 3 تراوح التركيز المثالي للفلزات المدروسة بين (-0.005-0.03) مولار حسب نوع الفلز .
- 4 يمك اعادة تنشيط الراتنج باستخدام حمض النيتريك (2مولر) بعد استخدامه لامتاز الايونات المدروسة باستثناء ايونات Co^{2+} ، وهذا يمكن اعادة استخدامه اكثر من مرة ، ومن ثم يوصى باستخدامه في معالجة مياه الصرف .

Preparation and characterization of aminated chelating resin (glycidyl methacrylate & divinyl benzene) with o-phenylene diamine and evaluation it's efficiency for water treatment

Saber El-Sayed Mansour* Ossama Amein Mohamed Tarek Ahmed Mohamed

Abstract

The aminated chelating resin was synthesized from copolymer of glycidyl methacrylate (GMA) with o-phenylene diamine (o-phDA) by suspension polymerization, the copolymer and its resin were characterized by elemental analysis and IR spectra. The different factors affecting the metal ions uptake of this resin such as pH, concentration of metal ions, treatment time and ionic radius were studied.

The resin was highly effective for the uptake of metal ions by batch and column methods. Removal of metals from the resin was successfully performed with 2M HNO_3 solution and the resin could be used repeatedly.

* Department of chemistry , Omar Al-Mukhtar University , P.O.Box 869 , El-Beida , Libya.

المراجع

- A. A. Atia, A. M. Donia, and A. M. Yousif, *Reactive & Functional Polymers*, 56, (2003), 75.
- A. A. Atia, A. M. Donia, and K. Z. Elwakeel, *Separation and Purification Technology*, 43, (2005), 43.
- A. Denizli, G. Ozkan and M. Y. Arica, *J. Appl. Polym. Sci.*, 78, (2000), 81.
- A. O. Martins, E. L. Silva, E. Carasek, N. S. Gonçalves, C. M. Laranjeira and V. T. Favere, *Analytica Chimica Acta*, 521, (2004), 157.
- A. W. Trochimczuk, and B. N. Kolarz, *European Polymer Journal*, 36, (2000), 2359.
- A. W. Trochimczuk, B. N. Kolarz, and D. J. Bartkowiak, *European Polymer Journal*, 31, (2001), 559.
- B. C. Mondal, and A. K. Das, *Reactive & Functional Polymers*, 53, (2002), 45.
- B. C. Mondal, and A. K. Das, *Analytica Chimica Acta*, 477, (2003), 73.
- B. E. Reed and M. R. Marsumoto, *Sep. Sci. Technol.*, 28, (1993), 2179.
- B. F. Senkal, and N. Bicak, *Reactive & Functional Polymers*, 49,(2001),151.
- B. George, V. N. R. Pillai and B. J. Mathew, *Appl. Polym. Sci.*, 74, (1999), 3432.
- D. Prabhakaran, and M. S. Subramanian, *Reactive & Functional Polymers*, 57, (2003), 147.
- E. W. Neuse, and H. Rosenberg, *J. Macromol. Sci. Rev. Macromol. Chem.*,1, (1970),4.
- F. M. B .Coutinho, S. M. Rezende, and C. C. R. Barbosa, *Reactive & Functional Polymers*, 49, (2001), 235.
- F. Svec, J. Hardil, j. Coupiek and J. Kalal, *Angew Macromol. Chem.*, 48, (1975), 870.
- G. Venkatesh, and A. K. Singh, *Talanta*, (2005), Article inpress.
- G. Yong, B. Din, Y. Liu, X. Chang, S. Meng, and J. Liu, *Talanta*, 62, (2004), 209.
- H. Dierssen, W. Balzer, and W. M. Landing, *Marine Chemistry* 73 (2001) 173.
- H. Kasgoz, S. Ozgumus, and M. Orbay, *Polymer*, 44, (2003), 1785.
- L. Jones, J. Morcellet, M. M. Delperte and H. Morcellet, *Eur. Polym. J.*, 28, (1992),185.
- M. J. Z. Mehra, A. Pourjavadi, and M. S. Rad, *Reactive & Functional Polymers*, 61, (2004), 23.
- M. R. Lutfor, S. Silong, W. M. Zin , M. Z. Abd Rahman, M. Ahmad, and J. Haron, *European Polymer Journal* 36, (2000), 2105.
- P. K. Roy, A. S. Rawat, and P. K. Rai, *Talanta*, 59, (2003), 239.
- R. Pathak, and G. N. Rao, *Analytica Chimica Acta*, 335, (1996), 283.
- R. Qu, C. Sun, Wang , C. Ji, Y. Sun, L. Guan, M. Yu, and G. Cheng, *European Polymer Journal*, (2005), Article in press.
- S. B. Pulak, K. Dhara, and C. Pabitra, *Talanta*, 63, (2004), 485.
- S. D. Cekic, H. Filik, and R. Apak, *Analytica Chimica Acta*,505, (2004),15
- S. Nagib, K. Inoue, T. Yamaguchi, and T. Tamaru, *Hydrometallurg*, 51, (1999), 73.

- S. Yalçin, and R. Apak, *Analytica Chimica Acta*, 505, (2004), 25.
- U. V. Trivedi, S. K. Menon, and Y. K. Agrawal, *Reactive & Functional Polymers*, 50, (2002), 205.
- V. G. Akerkar, N. B. Karalkar, R. K. Sharma, and M. M. Salunkhe, *Talanta*, 46,(1998),1461.
- Y. Guo, B. Din, Y. Liu, X. Chang, S. Meng, and M. Tian, *Analytica Chimica Acta*, 504, (2004), 319.
- Y. Kim, G. In, C. Han, and J. Choi, *Microchemical Journal*, 80, (2005),151.